

ГИДРОХИМИЯ, ГИДРОБИОЛОГИЯ,
ЭКОЛОГИЧЕСКИЕ АСПЕКТЫ

УДК 579.66.547

ХИМИЧЕСКИЙ И МИКРОБИОЛОГИЧЕСКИЙ СОСТАВ
ДОННЫХ ОТЛОЖЕНИЙ РЕКИ ТОМЬ¹
(ЮРГИНСКИЙ РАЙОН, ЗАПАДНАЯ СИБИРЬ)¹

© 2023 г. В. С. Овсянникова^a, *, И. В. Русских^a, Е. Б. Стрельникова^a, П. Б. Кадычагов^a

^aИнститут химии нефти Сибирского отделения РАН,

Томск, 634055 Россия

*e-mail: varja@ipc.tsc.ru

Поступила в редакцию 02.07.2022 г.

После доработки 28.10.2022 г.

Принята к публикации 30.10.2022 г.

Приведены результаты химического и микробиологического анализа состава донных осадков р. Томи в районе г. Юрги Кемеровской области. Во всех пробах донных осадков идентифицированы органические соединения смешанного, биогенного и антропогенного происхождения с преобладанием последних. Глинистые и илистые донные осадки характеризуются повышенным содержанием беззольного вещества, тяжелых металлов, практически всех классов идентифицированных углеводородов, за исключением кислородсодержащих и алициклических соединений. Донные осадки песчаного состава содержат минимальные концентрации органических загрязнителей, доли углеводородов разного происхождения в них сопоставимы. Микробиологический анализ показал, что в донных осадках, сложенных глинами и ильстым песком, преобладали углеводородокисляющие бактерии.

Ключевые слова: донные отложения, углеводороды, тяжелые металлы, органические соединения, микрофлора, углеводородокисляющие бактерии.

DOI: 10.31857/S032105962260048X, **EDN:** NRUCYH

ВВЕДЕНИЕ

Донные отложения (ДО) рек и озер – депонирующая среда для многих загрязняющих веществ, особенно стойких, трудно подвергающихся биотрансформации. Геохимические характеристики ДО постоянны во времени и содержат информацию о загрязнении водной толщи. Химический состав ДО может служить индикатором для выявления интенсивности и масштаба техногенного загрязнения водотоков, так как их состав отражает биогеохимические особенности водосборных территорий [17].

Например, закономерности распределения тяжелых металлов в ДО рек позволяют выделять зоны повышенного их содержания, которые приурочены к местам интенсивного сброса промышленных и коммунальных сточных вод [11]. Высокие техногенные нагрузки испытывают малые реки антропогенных ландшафтов, зачастую имеющие высокий уровень загрязнения и низкую самоочищающую способность. Со стоком в них попадают

отходы промышленных предприятий, городской канализации, сельскохозяйственные химические реагенты и т. д.

Углеводороды (УВ) – одна из групп загрязняющих веществ, присутствующих в ДО в качестве как природных составляющих органического вещества (ОВ), так и накапливающихся в результате антропогенного воздействия; при оценке экологической ситуации важно различать их фоновое природное содержание и вклад хозяйственной деятельности человека [1].

Один из биологических показателей экологического состояния природных объектов – состояние микрофлоры, которая реагирует на любые воздействия изменением количественного и качественного состава, а также структуры микробного сообщества – соотношения эколого-трофических групп микроорганизмов [4, 19].

Томь – река в Западной Сибири, правый приток Оби общей длиной 827 км и площадью водосбора 62 тыс. км². В верхнем течении – горная, в Кемеровской и Томской областях – типично равнинная река [3]. В нее попадают сточные воды предприятий горнодобывающей, топливно-энергетической, металлургической, коксохимической,

¹ Работа выполнена в рамках государственного задания ИХН СО РАН, финансируемого Министерством науки и высшего образования Российской Федерации (НИОКР 121031500046-7).

Таблица 1. Характеристика проб ДО, отобранных в р. Томи

№ пробы	Место отбора	Координаты	Тип ДО
1	с. Верх-Тайменка, 15 км выше по течению от г. Юрги	55°40'19" с.ш. 85°10'13" в.д.	Илистый песок
2	пос. Речной, 7.5 км выше по течению от г. Юрги	55°41'35" с.ш. 85°06'39" в.д.	Илистая глина
3	Выше по течению окраины г. Юрги, частный сектор и место для купания	55°42'34" с.ш. 84°59'37" в.д.	Илистый песок
4	Центр г. Юрги, рядом автодорога	55°43'35" с.ш. 84°57'36" в.д.	Песок
5	Ниже по течению окраины г. Юрги, рядом понтонный мост для автомобилей и паромная переправа	55°44'76" с.ш. 84°56'16" в.д.	Песок
6	д. Талая, на 7.5 км ниже по течению после очистных сооружений города и ТЭЦ	55°48'40" с.ш. 84°54'38" в.д.	Илистый песок
7	13 км ниже по течению после г. Юрги	55°46'44" с.ш. 84°54'20" в.д.	Глина

химической, деревообрабатывающей промышленности, агропромышленного комплекса и коммунального хозяйства городов Междуреченска, Новокузнецка, Кемерово, Томска [5].

На территории Юрги расположен ряд промышленных предприятий: машиностроительный и ферросплавный заводы; заводы сельскохозяйственного оборудования и железобетонных конструкций; производство кровельных и изоляционных материалов, производство оборудования для фармацевтической и химической отраслей, текстильная фабрика, мебельная компания, производство упаковочных материалов для пищевых предприятий, горнолизавод, пивоваренная компания и завод по выращиванию радужной форели [16]. Исследования вод р. Томи ведутся на протяжении многих лет. Однако, как правило, эти работы ограничиваются одним направлением, например определением содержания макро- и микроэлементов, других гидрохимических показателей качества воды [15] или изучением способности речной микрофлоры к утилизации различных загрязнителей [6]. В работах [7, 15] проводили исследования группового состава ОВ в воде и ДО р. Томи в районе г. Юрги.

В данной работе выполнен комплексный анализ ДО р. Томи в районе г. Юрги Кемеровской области: исследовано содержание тяжелых металлов (ТМ), ОВ и численность микрофлоры в ДО для оценки вклада городской инфраструктуры в загрязнение водной экосистемы.

МАТЕРИАЛЫ И МЕТОДЫ ИССЛЕДОВАНИЯ

Пробы поверхностного (0–10 см) слоя ДО отбирали с использованием пробоотборочного бура ТБГ-1 с семи точек р. Томи в Юргинском районе Кемеровской области, у берегов, в спокойных

и благоприятных для накопления ДО зонах (табл. 1, рис. 1). Пробы отбирали в конце вегетационного сезона (конец сентября) по течению реки в направлении от г. Кемерово к г. Томску для оценки вклада в загрязнение ДО ОВ населенных пунктов, по территории которых протекает р. Томь.

Механический состав отложений определяли экспресс-методом по формированию шнура или шарика (табл. 1) [20].

Зольность ДО определяли весовым методом после прокаливания в течение 6–8 ч при 600°C абсолютно сухих образцов (предварительно высушенных до постоянного веса при 105°C) [8].

Содержание ОВ (беззольного) определяли как величину, обратную зольности, весовым методом по разнице между исходной массой образца и потерей массы после прокаливания [14].

Содержание ТМ определяли в прокаленных при 600°C ДО методом атомно-эмиссионной спектроскопии с индуктивно связанный плазмой на приборе “iCap-6500” (“Thermo Scientific”) [13].

В ДО определяли численность микрофлоры трофических групп, осуществляющих разложение разных классов ОВ природного и антропогенного происхождения. На мясопептонном агаре (МПА) учитывали группу аммонификаторов или гнилостную микрофлору, осуществляющую распад белковых соединений; на крахмально-аммиачном агаре (КАА) выделяли группу микроорганизмов, разлагающих углеводы и усваивающих минеральный азот. Численность педотрофной микрофлоры, разлагающей гуминовые кислоты, учитывали на почвенном агаре (ПА). Группу олигокарбофилов и олигонитрофилов, способных выживать при крайне низких концентрациях биогенных элементов, учитывали на “голодном”



Рис. 1. Картосхема территории пробоотбора. 1–7 – номера точек отбора.

агаре (ГА) [18]. Численность углеводородокисляющих бактерий (УОБ) определяли на агариованной среде Мюнца с нефтью [23]. Для оценки особенностей микробиологических процессов и экологического состояния ДО рассчитывали трофические коэффициенты – соотношения численностей групп на указанных средах. Коэффициент минерализации определяли как соотношение численностей на средах КАА/МПА, коэффициент педотрофности – ПА/МПА, коэффициент олиготрофности – ГА/МПА [4].

ОВ из ДО экстрагировали хлороформом и четыреххлористым углеродом. Из хлороформных экстрактов получали гексановую фракцию на оксиде алюминия, которую исследовали методом хромато-масс-спектрометрии (ХМС) на приборе “DFS” фирмы “Thermo Scientific” (Германия), предоставленном центром коллективного пользования ТомЦКП СО РАН. Режимы работы хроматографа: кварцевая капиллярная хроматографическая колонка “SUPELCO” с внутренним диаметром 0.32 мм, длиной 30 м, неподвижной фазой SPB-5 (SE-54); газ-носитель – гелий, давление на входе 0.5 атм, температура испарителя 250°C, температура интерфейса 250°C; программа нагрева термостата хроматографа: начальная температура $T_{\text{нач}} = 70^\circ\text{C}$, изотерма в течение 2 мин, затем нагрев со скоростью 5 град/мин до $T_{\text{макс}} = 280^\circ\text{C}$ с последующей выдержкой в изотермических условиях до полной очистки колонки. Режим работы масс-спектрометра: метод ионизации – электронный удар; энергия ионизирующих электронов – 70 электронвольт; температура ионизационной камеры – 250°C; диапазон регистрируемых масс – 33–400 а.е.м.; длительность развертки спектра – 0.4 с.

Количественные расчеты проводили по площадям хроматографических пиков с использованием дейтероаценафтина в качестве внутреннего стандарта. Идентификацию органических примесей проводили по полным масс-спектрам с использованием компьютерной библиотеки Национального института стандартов.

Экстракти ОВ, выделенные четыреххлористым углеродом, использовали для определения суммарного содержания УВ ИК-спектрометрическим методом. Определение проводили двумя параллельными измерениями на спектрометре ИК-Фурье “Nicolet 5700” (разрешение – 4 cm^{-1} , число сканов пробы – 64) в диапазоне 3100...2700 cm^{-1} в кюветах из NaCl с толщиной поглощающего слоя 10 мм в соответствии с ПНД Ф 14.1:2.5-95 [11].

РЕЗУЛЬТАТЫ И ОБСУЖДЕНИЕ

Отобранные образцы ДО отличались по механическому составу (табл. 1) и зольности – содержанию несгораемого остатка (табл. 2). Минимальная зольность определена в образцах 2 и 7, характеризующихся как глинистые по гранулометрическому составу. Глины обладают высокими адсорбционными свойствами по отношению к органическим компонентам по сравнению с песчаными грунтами, что влияет на распределение ТМ в ДО. Содержание кадмия, меди, кобальта, никеля, свинца и цинка в образцах 2 и 7 в 3–5 раз превышало таковое в образцах, представленных песчаными грунтами, вне зависимости от расположения возможных источников загрязнения (тепловых электростанций, городских и промышленных стоков Юрги и Кемерово).

Таблица 2. Зольность и содержание тяжелых металлов в ДО р. Томи

№ образца	Зольность, %	Содержание компонента, мг/кг сухого вещества ДО						
		Fe	Zn	Ni	Cu	Pb	Co	Cd
1	96.7	2344	35.10	2.58	1.858	1.35	1.10	0.042
2	86.8	8364	161.95	9.98	8.377	6.77	4.11	0.274
3	93.9	2294	40.64	3.13	3.735	2.15	2.00	0.013
4	96.6	2108	33.61	3.18	1.612	1.08	1.02	0.011
5	96.3	2478	42.31	3.34	2.439	1.62	1.51	0.028
6	94.9	3049	51.08	3.66	2.033	1.84	1.79	0.064
7	90.4	4345	78.54	6.07	5.414	3.29	2.43	0.124

Концентрации разных металлов в ДО значительно отличались: железо в зольных остатках содержалось в максимальных количествах – от 2100 до 8300 мг/кг, так как оксиды железа являются компонентами почв и ДО. Содержание цинка варьировало от 33 до 162 мг/кг. В РФ ПДК для цинка составляет 100 мг/кг, поэтому превышение ПДК отмечено лишь в образце 2 – 162 мг/кг. Основные источники цинка – удобрения, осадки сточных вод и воздушная пыль промышленного происхождения. В меньших количествах в ДО определен никель – от 2.6 до 10 мг/кг, что ни в одном образце не превысило ПДК для почв, принятую в РФ (85 мг/кг) [2]. Никель в почвы и реки попадает при сжигании топлива, из промышленных выбросов, городских сточных вод. Содержание меди и свинца варьировало в пределах 1.6–8.4 и 1.08–6.8 мг/кг соответственно с максимальным содержанием в образцах 2 и 7. Основной источник антропогенного свинца – выхлопные газы автотранспорта, меди – нефтяное загрязнение. Медь и свинец связываются гумусовым веществом почв и ДО, а также оксидами железа и марганца. Кобальт в исследуемых образцах опреде-

лен в количестве 1.02–4.11 мг/кг. Основной источник техногенного кобальта – производство цветных металлов. Кадмия обнаружено меньше всего – 0.0113–0.274 мг/кг, что не превышает ПДК (1.0 мг/кг) [12]. Кадмий поступает в водоемы при выщелачивании почв сельскохозяйственных угодий и из очистных сооружений.

Соотношение содержаний анализируемых компонентов в однотипных ДО свидетельствует о сравнительно невысоком вкладе г. Юрги в загрязнение ТМ, так как максимальное содержание ТМ отмечено в точке 2, расположенной до Юрги; следовательно, основным источником ТМ в ДО Томи можно считать предприятие г. Кемерово.

Показатель, обратный зольности, – содержание беззольного вещества, в состав которого входят в основном ОВ. Максимальное его содержание – 9.6–13.2% – отмечено в глинистых образцах 2 и 7, отобранных до и после Юрги, минимальное – 3.3–3.4% – в песчаных образцах 1 и 4, отобранных перед Юргой и в ее центре (рис. 2а).

Общее содержание УВ в исследованных образцах варьировало от 0.038 до 0.13 г/кг (рис. 2б).

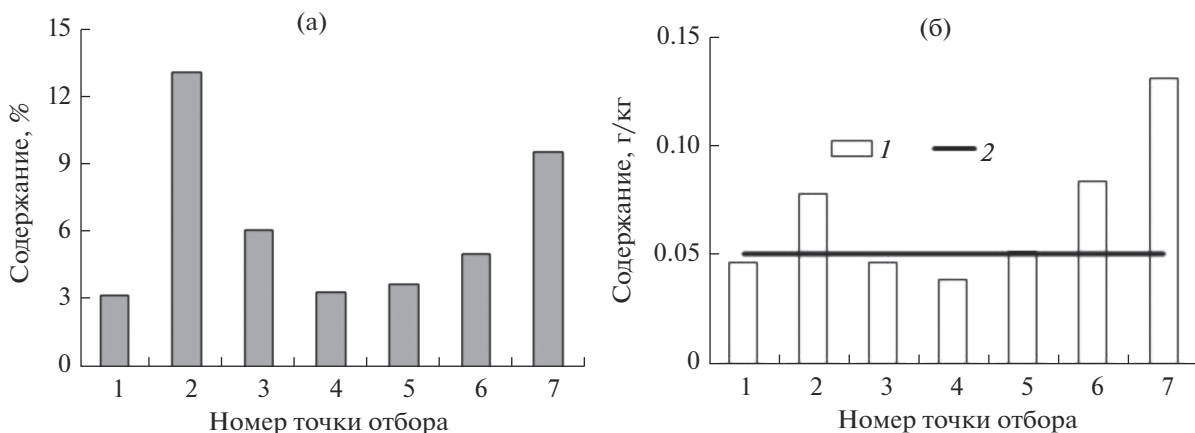


Рис. 2. Доля беззольного вещества (а) и общее содержание УВ (б) в ДО р. Томи: 1 – содержание УВ, 2 – их допустимая концентрация.

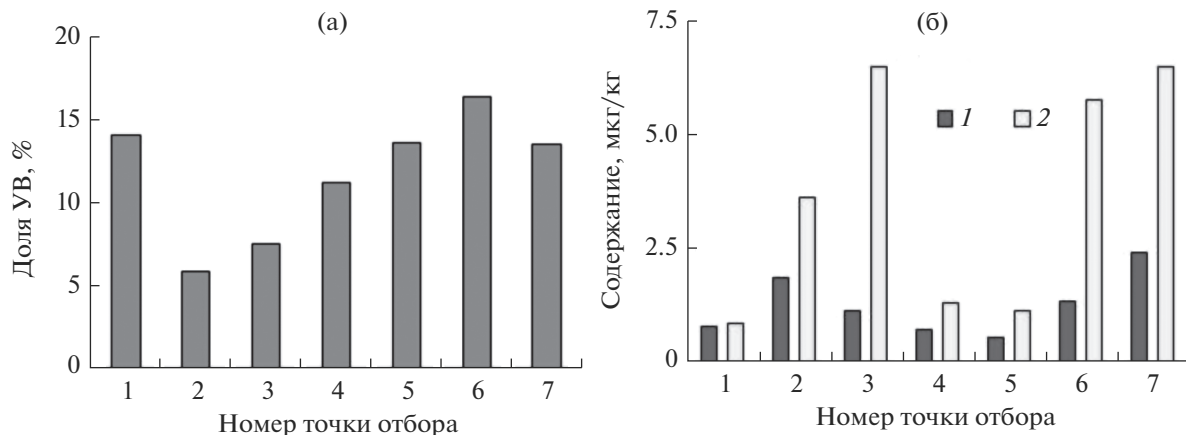


Рис. 3. Доля УВ в беззольном веществе ДО р. Томи (а) и их происхождение (б): 1 – смешанное, 2 – антропогенное.

В пробах 2, 6 и 7 содержание УВ превышало допустимую концентрацию (ДК) в 1.5–2.6 раза [9].

На примере проанализированных образцов ДО можно оценить влияние расположения места отбора относительно населенного пункта и механического состава ДО на накопление в них УВ. Так, влияние механического состава ДО (глина или песок) на накопление УВ можно оценить, сравнивая содержание УВ в образцах 1 или 3 и 2, отобранными выше Юрги по течению, но отличающимися по типу: в илистых песках (пробы 1 и 3) содержалось по 0.046 г/кг УВ, в илистой глине (проба 2) – 0.077 г/кг. Илистый песок (образец 6), отобранный ниже Юрги, содержал 0.083 г/кг, а глина (образец 7) – 0.13 г/кг УВ. Это объясняется разной сорбирующей способностью песка и глины по отношению к УВ. А разница между пробами 1 или 3 и 6, а также между 2 и 7 показывает вклад инфраструктуры г. Юрги в загрязнение ДО: в илистом песке, отобранным ниже Юрги, содержалось УВ в 1.8 раз больше, чем до Юрги, а в глине – в 1.7 раз.

Поэтому повышенное содержание УВ (0.077 г/кг) в глинистой пробе 2, отобранной до Юрги, можно считать следствием адсорбции и долгосрочного накопления органических поллютантов, поступавших от расположенного еще выше по течению Кемерово, а повышенные концентрации УВ в отобранных ниже г. Юрги пробах 6 и 7 связаны, скорее, с городскими стоками, выбросами предприятий и транспорта.

Распределение УВ в образцах было сходным с распределением беззольного вещества. Несмотря на это, доля УВ в беззольном веществе, рассчитанная на основе данных ИК-спектрометрического определения общего содержания УВ и гравиметрического анализа зольности, менялась иным образом: максимальные доли УВ определены в пробах 1 и 6, минимальные – в пробах 2 и 3. Начиная с пробы 3, отобранной с окраины Юрги

и ниже по течению, доля УВ растет по мере продвижения вдоль города и выезда из него (рис. 3а).

Методом ХМС в отобранных ДО идентифицировали алифатические, ароматические, алициклические УВ, а также ряд кислород- и серосодержащих ОВ (рис. 4). Если на основе опытных и литературных данных предположить, что к соединениям смешанного происхождения относятся алканы, би- и триароматические УВ, кислород- и серосодержащие соединения, а к соединениям антропогенного происхождения – моно-, тетра-, пентаароматические УВ и циклогексаны, то соотношения ОВ смешанного и антропогенного происхождения будут указывать на источник УВ в анализируемых ДО (рис. 3б).

Среди всех проб ДО максимальное содержание ОВ антропогенного происхождения определено в пробах 2, 3, 6 и 7, представленных глинами и илистыми песками и отобранных выше и ниже по течению от г. Юрги. Во всех пробах, кроме пробы 1 (с. Верхняя Тайменка), содержание УВ антропогенного происхождения было в 2.0–5.5 раз выше, чем смешанного. Максимальное различие отмечено для образцов 3, 6 и 7 (рис. 3б).

Среди анализируемых групп соединений преобладали ароматические с максимальным содержанием (4.8–6.8 мкг/г) в пробах 2, 3, 6 и 7, представленных илистыми песками и глиной и отобранных выше и ниже по течению от города. В песчаных пробах содержание ароматических УВ было минимальным (1.0–1.5 мкг/г) вне зависимости от места отбора – за городом или в его черте (рис. 4а).

Концентрация *n*-алканов варьировала от 0.54 до 1.26 мкг/г с максимальным содержанием в глинистых образцах 2 и 7. Среднее содержание отмечено в илистых песках ДО – в пробах 1, 3 и 6, а минимальное – в песчаных пробах 4 и 5. Расположение мест отбора практически не повлияло на содержание ароматических УВ и *n*-алканов в ДО.

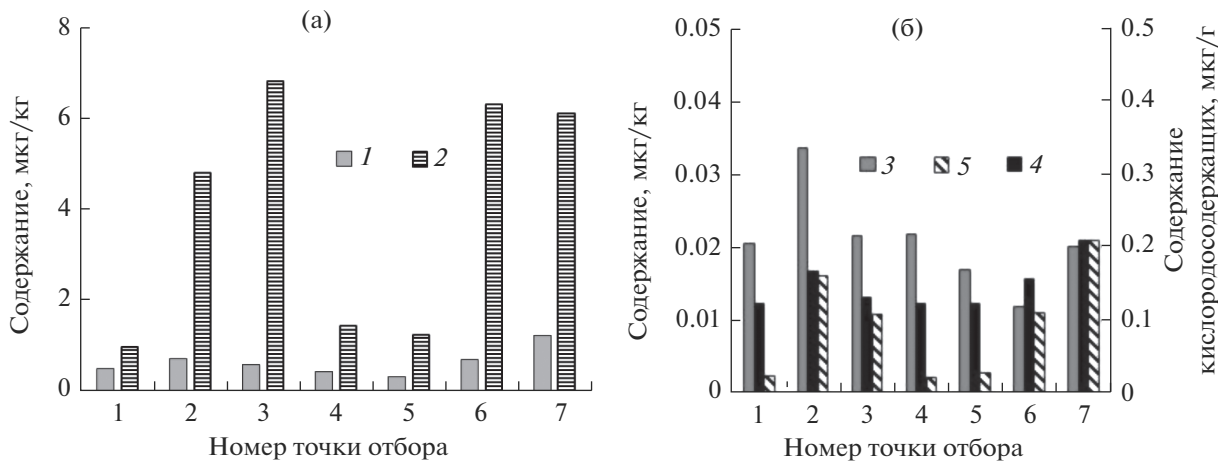


Рис. 4. Содержание разных групп органических соединений в ДО: 1 – н-алканы, 2 – ароматические, 3 – алициклические, 4 – серосодержащие, 5 – кислородсодержащие УВ.

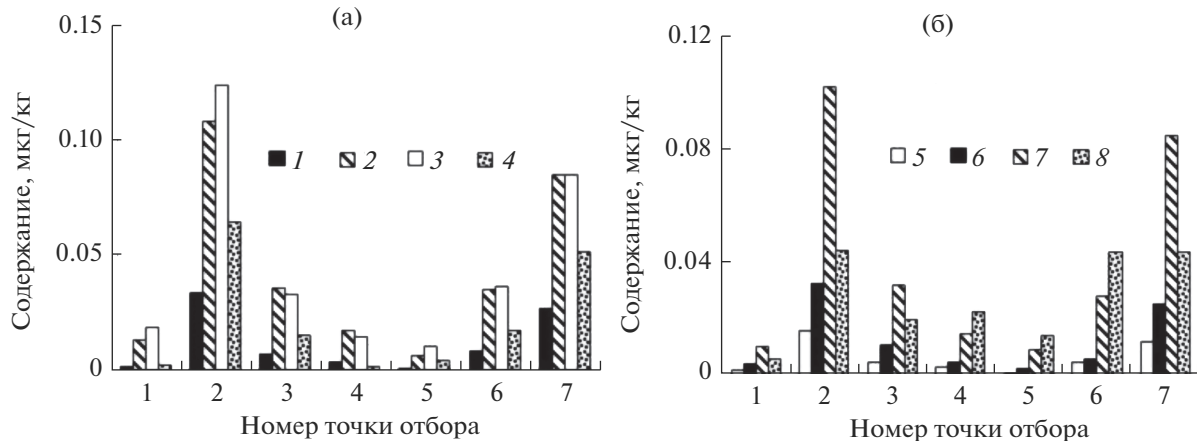


Рис. 5. Содержание биароматических УВ в ДО: 1 – метилнафталины, 2 – диметилнафталины, 3 – триметилнафталины, 4 – тетраметилнафталины, 5 – бифенил, 6 – метилбифенилы, 7 – диметилбифенилы, 8 – тетраметилбифенилы.

В невысоких концентрациях выявлены алициклические УВ (0.01–0.03 мкг/г), кислородсодержащие (0.12–0.21 мкг/г) и серосодержащие соединения (0.002–0.021 мкг/г).

Среди ароматических идентифицированы моно-, би-, три-, тетра- и пентациклические соединения. Моноароматические УВ представлены алкилбензолами и метилалкилбензолами, они обнаружены во всех пробах в очень низких концентрациях (от 0.0024 до 0.0095 мкг/г). Алкилбензолы – это сырье для производства пенообразователей и моющих средств, они входят в состав растворителей, красок, бензина и в окружающую среду попадают со сбросами промышленных предприятий и городских канализаций.

Биароматические УВ, идентифицированные в пробах, представлены нафталином, бифенилом и их метилзамещенными гомологами (рис. 5).

Основная доля биароматических УВ представлена ди-, три- и тетраметилнафталинами иmono-,ди- и тетраметилбифенилами. Голоядерные гомологи нафталинов определены в крайне незначительных количествах либо отсутствовали. Максимальное содержание всех идентифицированных компонентов определено в пробах ДО глинистого состава – 2 и 7, причем проба 2, отобранная до города, содержала больше биароматических УВ, чем проба 7, отобранная через 13 км после Юрги. Следующими по содержанию биароматических УВ являются пробы, представленные илистыми песками (3 и 6), затем песчаные пробы (4 и 5 – в черте города). Присутствие в ДО нафталина и его метилзамещенных гомологов может быть следствием смыва инсектицидных средств с полей, сброса промышленных стоков заводов по изготовлению красителей либо связано с его природным происхождением. Бифенил и его метил-

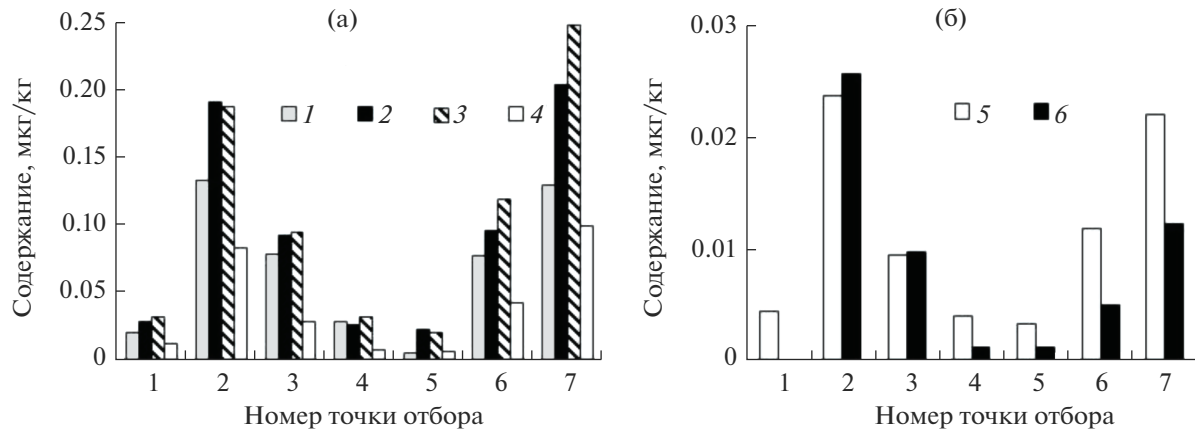
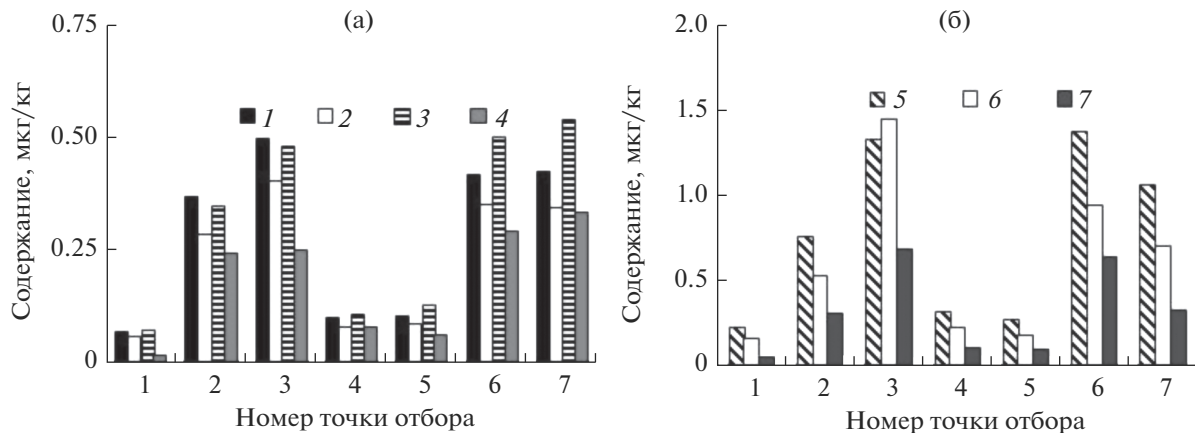


Рис. 6. Содержание триароматических УВ в ДО: 1 – фенантрен, 2 – метилфенантрены, 3 – диметилфенантрены, 4 – триметилфенантрены, 5 – флуорен, 6 – метилфлуорены.



замещенные гомологи образуются при неполном сгорании автомобильного топлива, но также могут быть и природного происхождения.

Триароматические УВ в ДО представлены фенантренами и флуоренами (рис. 6а, 6б). Суммарное содержание фенантренов варьирует в пределах от 0.075 до 0.709 мкг/г, флуоренов – на порядок ниже – 0.004–0.049 мкг/г. Как общее содержание триароматических УВ, так и концентрации отдельных компонентов распределены аналогично биароматическим УВ: максимальное содержание определено в глинистых образцах, меньше – в илистых песках, минимальное – в песчаных образцах.

Появление флуоренов и фенантренов, являющихся реагентами для производства красителей, может быть объяснено выбросами лако-красочных предприятий.

Во всех пробах идентифицированы тетра- и пентаароматические соединения (рис. 7, 8). Их

содержание выше, чем би- и триароматических УВ, вследствие их более высокой устойчивости к микробиологическому окислению во внешней среде. По содержанию тетра- и пентаароматических УВ исследованные образцы ДО можно поделить на две группы: с низким (пробы 1, 4 и 5) и высоким (пробы 2, 3, 6 и 7) содержанием. Так, суммарно содержание тетраароматических голоядерных флуорантина и пирена и их метилзамещенных гомологов варьирует в пределах 0.89–5.05 мкг/г (рис. 7а).

Идентифицированные во всех пробах пентаароматические бензантрацен и хризен содержатся в концентрациях 0.05–0.42 мкг/г; их метилзамещенные гомологи – в концентрациях 0.002–0.190 мкг/г. Их суммарная концентрация в первой группе проб составляет 0.2–0.3 мкг/г, во второй – 0.78–1.40 мкг/г (рис. 8).

Пентаароматические УВ относятся к пирогенным, так как они образуются в результате горе-

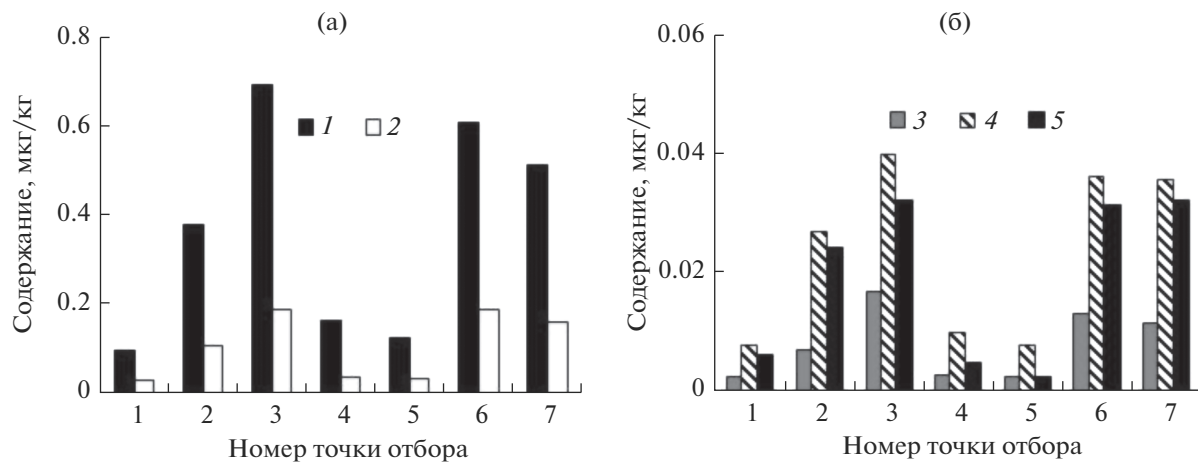


Рис. 8. Содержание пентаароматических УВ в ДО: 1 – трифенилен, 2 – метилбензантрацен, 3 – бензфенантрен, 4 – метилхризен, 5 – диметилбензантрацен.

ния, их присутствие в почвах и ДО обычно связывают с переносимыми ветром продуктами горения угля и различных видов топлива. Для определения происхождения полициклоароматических углеводородов (ПАУ) в объектах окружающей среды используются молекулярные индексы – соотношения содержаний различных компонентов – фенантрена к антрацену, флуорантена к пирену, флуорантена к сумме флуорантена и пирена, суммарного содержания ароматических УВ низкомолекулярного состава (би- и триарены) к ароматическим УВ высокомолекулярного состава (тетраарены и выше) и т. д. Состав и распределение индивидуальных ПАУ во всех пробах ДО были сходны. В соответствии с рассчитанными коэффициентами загрязнение ПАУ в основном имеет пирогенное происхождение (табл. 3) [24].

Различия образцов по величине соотношения суммарного содержания низкомолекулярных ПАУ и содержания высокомолекулярных могут свидетельствовать как о разном вкладе УВ пирогенного

и петрогенного происхождения, так и о разной скорости их биоокисления в условиях внешней среды.

Помимо ароматических УВ в ДО р. Томи идентифицированы алифатические УВ, которые представлены *n*-алканами C₁₃–C₃₂ (рис. 9).

Наличие *n*-алканов в пробах ДО связывают с продуцированием их биоорганизмами либо с привнесением из нефтяных систем, на что указывает молекулярно-массовое распределение (ММР) этих соединений.

Во всех пробах ДО в ММР *n*-алканов просматриваются две моды: первая – C₁₃–C₂₅ и вторая – C₂₇–C₃₁. Первая имеет би- и полимодальную форму, приближаясь к гауссовой кривой. Вторая имеет четкие максимумы содержания C₂₇, C₂₉ и C₃₁ *n*-алканов, которые в несколько раз превышают содержание компонентов первой группы. Эта закономерность выражается в виде коэффициента нечетности CPI:

$$CPI = \frac{2 \times (C_{21} + C_{23} + C_{25} + C_{27} + C_{29} + C_{31})}{(C_{20} + C_{22} + C_{24} + C_{26} + C_{28} + C_{30}) + (C_{22} + C_{24} + C_{26} + C_{28} + C_{30} + C_{32})}.$$

Таблица 3. Значения молекулярных индексов для ПАУ пирогенного и петрогенного происхождения

Индекс	Происхождение		Номер образца						
	пирогенное	петрогенное	1	2	3	4	5	6	7
Флуорантен/пирен	>1	<1	1.20	1.29	1.24	1.26	1.22	1.19	1.23
Флуорантен/ (флуорантен + пирен)	>0.5	<0.5	0.55	0.56	0.55	0.56	0.55	0.54	0.55
HMC/BMC	<1	>1	0.16	0.28	0.07	0.11	0.09	0.08	0.21

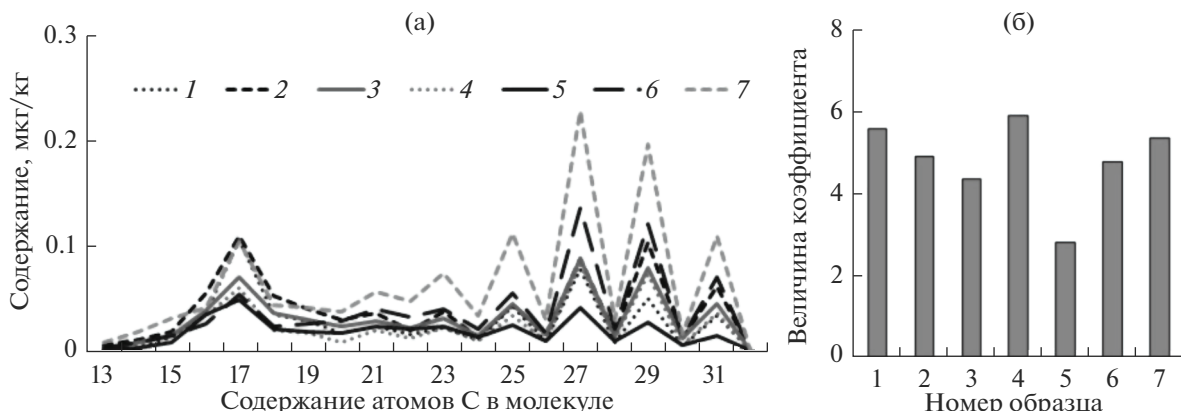


Рис. 9. Молекулярно-массовое распределение *n*-алканов (а) и коэффициенты нечетности (б) в образцах ДО Юргинского района Кемеровской области: 1–7 – точки отбора проб.

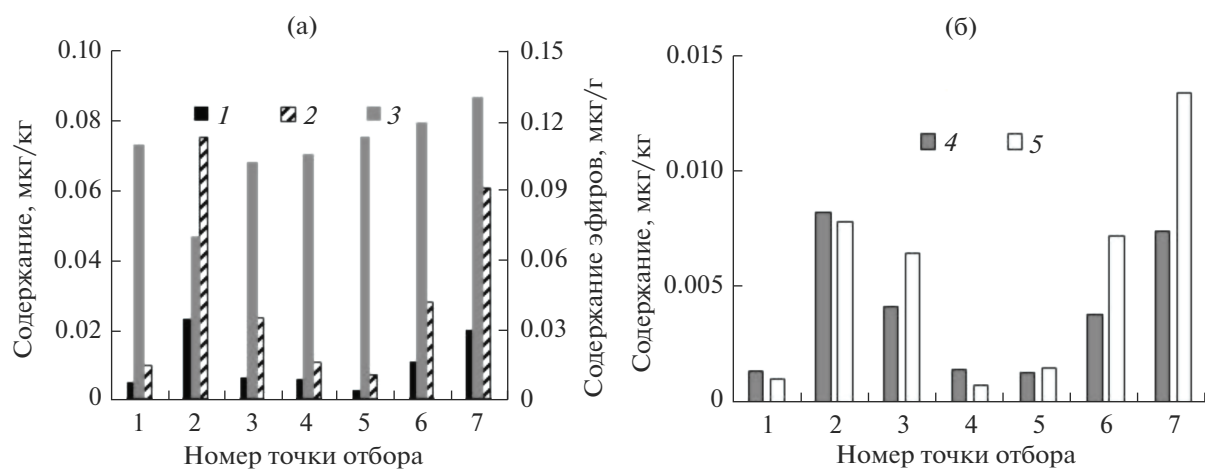


Рис. 10. Содержание кислородсодержащих (а) и серосодержащих (б) соединений в ДО: 1 – дibenзофуран, 2 – метилдibenзофураны, 3 – эфиры карбоновых кислот, 4 – дibenзтиофен, 5 – метилдibenзтиофены.

Значение *CPI*, близкое к 1, свидетельствует об антропогенном происхождении *n*-алканов, $1 > CPI < 10$ – о биогенном, так как для живых организмов характерно преобладание гомологов с нечетным числом атомов углерода над четными, а в нефтях и нефтепродуктах распределение сглажено [22].

В данной работе во всех пробах значение *CPI* в 3–6 раз превышает единицу, что свидетельствует о преимущественно биогенном происхождении *n*-алканов в пробах ДО р. Томи. Максимальный вклад *n*-алканов биогенного происхождения отмечен в пробе 4 (центр г. Юрги), минимальные – в пробах 3 и 5. *n*-Алканы C₂₇, C₂₉ и C₃₁ являются продуктами биосинтеза высших растений и поступают в окружающую среду с растительным опадом.

Помимо вышеперечисленных соединений, в небольшом количестве были идентифицированы кислород- и серосодержащие ОВ (рис. 10).

Среди кислородсодержащих соединений определены дibenзофураны и эфиры карбоновых кислот. Дibenзофуран и метилдibenзофураны были определены во всех пробах, их максимальное содержание отмечено в пробах 2 и 7 (рис. 10а). Распределение эфиров карбоновых кислот в пробах отличалось от распределения всех остальных веществ: начиная с пробы 2 (пос. Речной, до Юрги) их содержание возрастало с 0.07 до 0.13 $\mu\text{g/g}$, накапливаясь по мере продвижения вниз по течению.

Идентифицированные в ДО серосодержащие соединения представлены дibenзтиофеном и его метилзамещенными гомологами.

Аналогично ароматическим соединениям максимальное количество серосодержащих соедине-

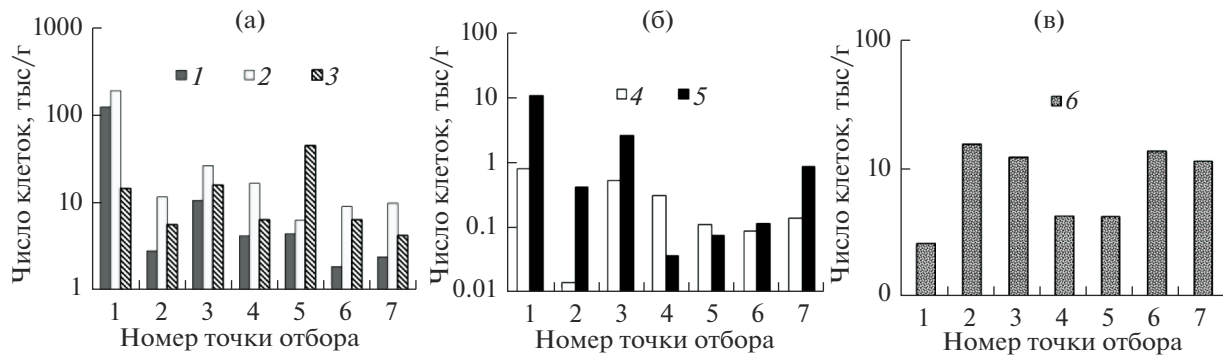


Рис. 11. Численность в ДО микрофлоры основных физиологических групп при учете на разных питательных средах: 1 – МПА, 2 – КАА, 3 – ср. Чапека, 4 – ГА, 5 – ПА, 6 – Мюнца.

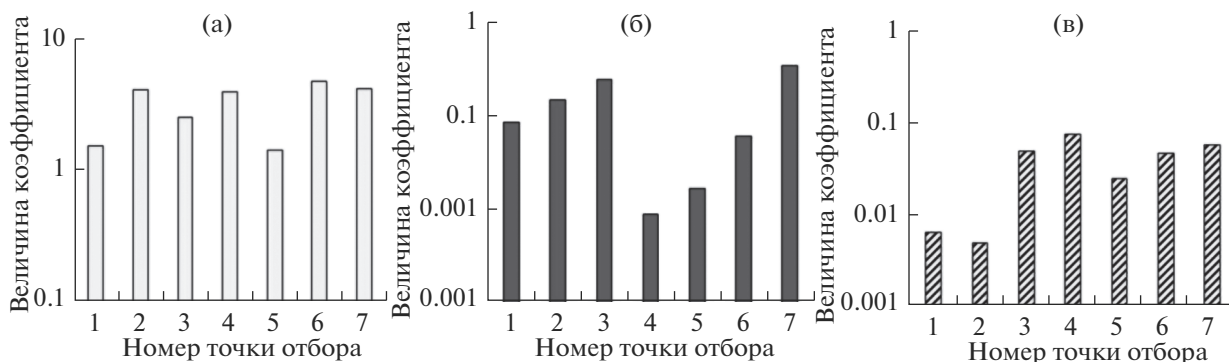


Рис. 12. Экологотрофические коэффициенты для микрофлоры ДО: КАА/МПА – коэффициент минерализации (а), ПА/МПА – коэффициент педотрофности (б), ГА/МПА – коэффициент олиготрофности (в).

ний наблюдается в пробах ДО 2 и 7, представленных глинистым материалом (рис. 10б). Метилдibenзтиофены не обнаружены в пробах илистого песка выше по течению от города (проба 1) и в песчаном ДО в центре города (проба 4).

Серосодержащие и кислородсодержащие соединения могут иметь как биогенное, так и антропогенное происхождение и не являются токсичными соединениями.

Повышенное содержание – 1.56 мкг/г – алициклических соединений, представленных циклогексанами, было отмечено в пробе 7 – на 13 км ниже по течению после Юрги, в остальных пробах – 0.0118–0.0334 мкг/г. Циклогексаны как компоненты моторных масел и различных видов топлива относятся к антропогенным загрязнителям, и их повышенная концентрация может свидетельствовать о вкладе выхлопов автотранспорта или предприятий г. Кемерово.

Микробиологический анализ проб ДО показал, что во всех образцах доминировала микрофлора, растущая на среде КАА и использующая минеральный азот (6–182 тыс. клет/г), следующая по численности была аммонифицирующая микрофлора на среде МПА (2–120 тыс. клет/г).

Затем по убывающей: микромицеты на среде Чапека (4.2–43.7 тыс. клет/г), углеводородокисляющая (2.6–15.6 тыс.), педотрофная на почвенном агаре (0.04–10 тыс.), олиготрофная на “голодном” агаре (0.014–0.8 тыс. клет/г) (рис. 11).

Присутствие в больших количествах аммонийфицирующей микрофлоры свидетельствует об активном распаде белковых соединений, попадающих в реки с растительным опадом и отмершими животными организмами. Микрофлора на КАА осуществляет разложение природного ОВ следующей ступени – распад полисахаридов. Так как в анализированных ДО максимальной была именно эта группа и коэффициент минерализации КАА/МПА во всех образцах был >1, это позволяет предполагать, что в исследуемый период доминирующим процессом было разложение полисахаридов (рис. 12).

Численность УОБ в пробах 2, 6 и 7 превышала количество микрофлоры на КАА и МПА в 1.5–7.0 раз, в остальных – была сопоставима или ниже, т. е. УОБ не были абсолютно доминирующей группой, что указывает на отсутствие угнетения других групп микрофлоры углеводородным загрязнением. Численность УОБ в образцах соот-

ветствовала общему содержанию в них УВ: максимальная численность УОБ отмечена в пробах 2 и 6, чуть ниже – в пробах 3 и 7, минимальная – в пробах 1, 4 и 5 (рис. 11).

Коэффициенты педотрофности и олиготрофности во всех образцах ДО были <1 , возможно, из-за выноса водой субстратов для их роста – водорастворимых продуктов распада высокомолекулярных биополимеров – белков и углеводов (рис. 12).

Мониторинг состава ОВ в ДО р. Томи вблизи г. Юрги проводился авторами статьи в течение ряда лет (2005, 2011, 2019 гг.). В 2005 г. [7] концентрации ОВ ДО, отобранных выше и ниже г. Юрги, близки, за исключением ПАУ, содержание которых в пробе выше г. Юрги в 3 раза больше по сравнению с пробой, отобранной ниже по течению. Исследования, проведенные в 2011 г. [15], показали, что содержание загрязняющих соединений в пробах ДО, отобранных выше г. Юрги, меньше (по отдельным соединениям в 6–9 раз), чем в пробах, отобранных ниже по течению. Обратная картина наблюдается в 2019 г.: количество некоторых ОВ (ПАУ, кислородсодержащих соединений) в пробах ДО, отобранных выше г. Юрги, больше, чем в пробах, отобранных ниже по течению. ДО р. Томи в районе г. Юрги аккумулируют все выбросы загрязняющих веществ с предприятий Кузбасса, наиболее опасные поллютанты которых – ПАУ. Поскольку содержание их в ДО нестабильно, возникает необходимость постоянного мониторинга водной среды р. Томи на территории Кузбасса.

ВЫВОДЫ

Исследования ДО р. Томи в Юргинском районе Кемеровской области методом ИК-спектроскопии показали, что неблагоприятная обстановка в Юргинском районе наблюдается за 7.5 км до города, т. е. в 13 км от города вниз по течению и перед деревней Талой, где происходит сброс в р. Томь с очистных сооружений всех предприятий и канализации города. Суммарное содержание УВ здесь превышает значение ДК в 1.0–2.5 раза.

Определение содержания ТМ показало единичное превышение ПДК в 1.6 раз лишь для цинка, концентрации же остальных ТМ во всех образцах не превышали норму. Накопление ТМ и УВ в большей мере зависит от механического состава самих ДО. Глины и ил вследствие повышенных адсорбционных свойств характеризовались повышенным по сравнению с песчаными грунтами содержанием беззольного вещества, ТМ, УВ в целом и практически всех их классов, за исключением кислородсодержащих и алициклических соединений. Соотношения содержаний ТМ в однотипных ДО свидетельствуют о сравнительно

невысоком вкладе г. Юрги в загрязнение – возможно, основной источник ТМ в ДО данного района – г. Кемерово.

Во всех пробах ДО Томи обнаружены ОВ смешанного и антропогенного происхождения с преобладанием последних. Их максимальное содержание определено в ДО, представленных глинами и илистыми песками и отобранных как до, так и после Юрги. Образцы песчаного состава содержат минимальные концентрации ОВ, и в них доли УВ разного происхождения были сопоставимы.

Идентифицированные в ДО органические УВ по убыванию содержания располагаются в следующем ряду: ароматические – алифатические – алициклические – кислородсодержащие – серосодержащие. Анализ молекулярных индексов – соотношений содержаний фенантрена и антрацена, флуорантена и пирена и др. – свидетельствует о преимущественно пирогенном происхождении в исследованных ДО поликарбонатических УВ, которые являются канцерогенными и токсичными веществами, их наличие обычно связывают с процессами горения. Присутствие пирогенных ПАУ в ДО вблизи деревни Талой можно объяснить сбросами городской ТЭЦ, а в пос. Речном ниже по течению – расположением на берегу реки частных домов с печным отоплением. Различия соотношений суммарного содержания низкомолекулярных ПАУ и содержания высокомолекулярных может свидетельствовать не только о разном вкладе УВ пирогенного и петрогенного происхождения, но и о разной скорости их биоокисления в условиях внешней среды. Значения коэффициента нечетности указывают на значительный вклад *n*-алканов биогенного происхождения в ОВ исследованных ДО. Их минимальный вклад отмечен для проб, состоящих из илестого и обычного песка, отобранных выше и ниже по течению от Юрги.

Микробиологический анализ проб ДО показал, что во всех образцах доминировал процесс разложения полисахаридов, следующий по интенсивности – распад белковых соединений, а слабо выраженной была деструкция гуминовых веществ. Кроме того, во всех пробах присутствовала углеводородокисляющая микрофлора, доминирующая над другими группами в пробах, состоящих из глины и илестого песка, за счет повышенного содержания в этих пробах субстрата для роста – УВ. Сопоставимые количества УОБ и остальных групп в ДО возле с. Верхне-Тайменка и в черте г. Юрги свидетельствуют об отсутствии угнетения микрофлоры углеводородным загрязнением, что указывает на удовлетворительное экологическое состояние города.

СПИСОК ЛИТЕРАТУРЫ

1. Валиев В.С., Иванов Д.В., Шагидуллин Р.Р. Нефтяные углеводороды в донных отложениях: состав, идентификация, механизмы трансформации (обзор) // Экологическая безопасность. № 1. 2020. С. 41–51.
2. Водяницкий Ю.Н. Тяжелые металлы и металлоиды в почвах. М.: Почвенный ин-т РАСХН, 2008. 85 с.
3. Герасимова Н.Н. Анализ загрязнения поверхностных вод Кемеровской области на примере р. Томи // Вестн. Томского гос. ун-та. 2012. V. 355. С. 160–170.
4. Даденко Е., Акименко Ю., Колесников С., Казеев К. Методы биодиагностики наземных экосистем. Ростов-на Дону: Изд-во Южного федерального ун-та, 2016. 355 с.
5. Захарина К.Э., Арутюнов Э.А. О показателях оценки загрязнения окружающей природной и жилой среды Кемеровской области // Интернет-журнал “Отходы и ресурсы”. 2017. № 4. <https://resources.today/PDF/08RRO417.pdf>
6. Зинин-Бермес Н.Н., Громова В.А., Осипова Л.П. Методы изучения биологического самоочищения воды реки Томи и ее токсичности // Медицина в Кузбассе. 2007. № 2. С. 29–31.
7. Кадычагов П.Б., Русских И.В., Белицкая Е.А. Особенности распределения органических примесей в природных водах и донных осадках бассейна реки Томи // Защита окружающей среды в нефтегазовом комплексе. 2008. № 7. С. 35 – 40.
8. Количественный химический анализ почв. Методика выполнения измерений массовой доли золы в твердых и жидкых отходах производства и потребления, осадках, шламах, активном иле, донных отложениях гравиметрическим методом. ПНД Ф 16.2.2:2.3:3.29-02. М., 2002. 13 с.
9. Крамер Д.А., Тихонова И.О. Антропогенное загрязнение донных отложений малых рек // Башкирский химич. журн. 2012. Т. 19. № 4. С. 29–34.
10. Манихин В.И., Никаноров А.М. Растворенные и подвижные формы тяжелых металлов в донных отложениях пресноводных экосистем. СПб.: Гидрометеоиздат, 2001. 182 с.
11. Методика выполнения измерений массовой концентрации нефтепродуктов в природных и сточных водах методом ИК спектрометрии. ПНД Ф 14.1:2.5-95. М.: Минприроды РФ, 2004. 15 с.
12. Ориентировочно допустимые концентрации (ОДК) химических веществ в почве. ГН 2.1.7.2511- 09. М.: Минюст РФ, 2009. Рег. № 14121. 12 с.
13. Отмахов В.И., Петрова Е.В., Пушкирева Т.Н., Островерхова Г.П. Атомно-эмиссионная методика анализа грибов на содержание тяжелых металлов и использование ее для целей экомониторинга // Изв. Томского политех. ун-та. 2004. Т. 307. № 6. С. 44–48.
14. Почвы. Методы определения органического вещества. ГОСТ 26213-91. М.: Изд-во стандартов, 1992.
15. Русских И.В., Стрельникова Е.Б., Гуляя Е.В., Кадычагов П.Б. Органические соединения в донных отложениях озер Хакасии // Вода: химия и экология. 2012. № 1. С. 11–16.
16. Рябов В.А., Столбова О.Б. Современный промышленный комплекс Кемеровской области // Вестн. КемГУ. Сер. Биологические, технические науки и науки о Земле. 2017. № 3. С 41–46.
17. Савичев О.Г. Исследование взаимосвязей между химическим составом вод и донных отложений рек Сибири // Изв. Томского политех. ун-та. Инженеринг георесурсов. 2019. Т. 330. № 5. 178–188.
18. Семенова И.Н., Ильбулова Г.Р., Суюндуков Я.Т. Изучение эколого-трофических групп почвенных микроорганизмов в зоне влияния горнорудного производства // Фундаментал. исследования. 2011. № 11 (ч. 2). С. 410–414.
19. Таипова О.А., Семенова И.Н. Использование микробиологических показателей для оценки экологического состояния почв в зоне влияния Сибайского карьера (республика Башкортостан) // Современные проблемы науки и образования. 2012. № 2. <https://science-education.ru/ru/article/view?id=5592> (дата обращения: 10.06.2022)
20. Черников М.В., Кавалерова Д.А., Букатин М.В., Адельшин Ф.К., Кузнецова О.Ю. Науки о Земле. Модуль 4. Почвоведение. Уч. пособие для студентов, обучающихся по специальности 020200 “Биология”. Волгоград, 2011. 21 с.
21. Шварцев С.Л., Савичев О.Г. Качество речных вод и проблемы управления водопользованием в бассейне реки Томи // Вычислительные технологии. 2006. Т. 11. № S6. С. 67–78.
22. Didyk B.M., Simoneit B.R.T., Pezoa L.A., Riveros M.L., Flores A.A. Urban aerosol particles of Santiago, Chile: organic content and molecular characterization // Atmos. Environ. 2000. V. 34. 1167–1179.
23. Nalivaiko N.G. Rukovodstvo k prakticheskim занятиям по микробиологии воды [Guide to practical training in water microbiology]. Tomsk: Publ. House Tomsk Polytech. Uni., 2010. 114 p.
24. Yunker M.B., Perreault A., Lowe C.J. Source apportionment of elevated PAH concentrations in sediments near deep marine outfalls in Esquimalt and Victoria, BC, Canada: Is coal from an 1891 shipwreck the source? // Org. Geochem. 2012. V. 46. P. 12–37.